

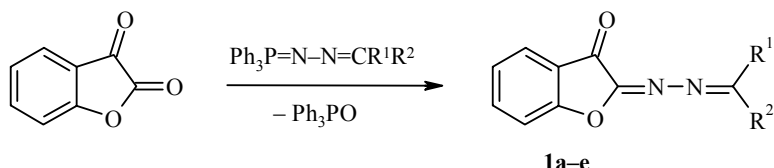
Н. А. Пулина, В. В. Залесов

## СИНТЕЗ И СВОЙСТВА ЗАМЕЩЕННЫХ 2-МЕТИЛЕНГИДРАЗОНО-2,3-ДИГИДРО-3-БЕНЗО[*b*]ФУРАНОНОВ

Взаимодействие 2,3-дигидро-2,3-бензо[*b*]фурандиона с трифенилfosфазинами диазосоединений приводит к замещенным 2-метиленгидразоно-2,3-дигидро-3-бензо[*b*]фуранонам, которые гидролизуются в кислой среде до замещенных метиленгидразидов *o*-гидроксифенилглиоксалевой кислоты, реагируют с аминами с образованием, соответственно, продуктов присоединения по активированной связи CH=N боковой цепи или 2-гидразоно-2,3-дигидро-3-бензо[*b*]фуранона.

**Ключевые слова:** замещенные 2-метиленгидразоно-2,3-дигидро-3-бензо[*b*]фураноны, аминолиз, гидролиз.

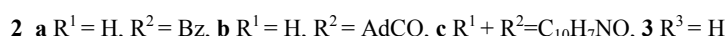
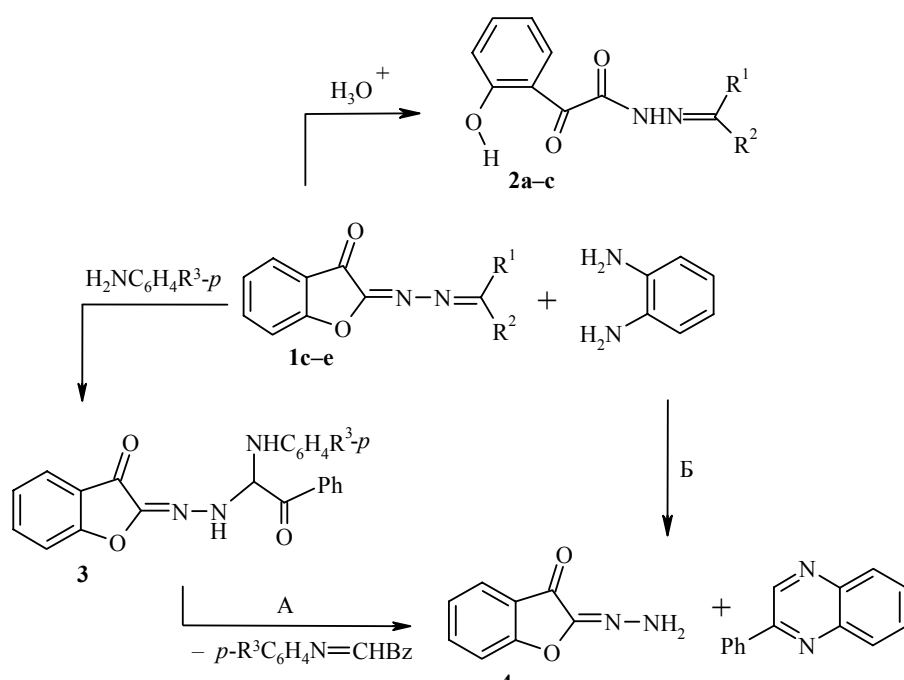
Ранее нами было показано, что 5-арил-2,3-дигидрофuran-2,3-дионы взаимодействуют с трифенилfosфорилиденгидразонами (далее – трифенилfosфазинами), синтезированными на основе диазосоединений различного строения, образуя замещенные 2-метиленгидразоно-2,3-дигидро-3-фураноны [1]. Реакция протекает региоселективно по лактонной карбонильной группе [2], однако, данное направление является примером аномального протекания реакции Штаудингера при наличии в гетероцикле кетонного карбонила, что не характерно для трифенилfosфазинов [3]. Границы протекания этой реакции могут быть расширены за счет бензо-[*b*]аналога изученных гетероциклов – 2,3-дигидро-2,3-бензо[*b*]фурандиона. Мы установили, что трифенилfosфазины, полученные на основе дифенилдиазометана, флуоренилдиазометана, бензоилдиазометана, адамантаноилдиазометана, и (1-метил-2-оксо-3-индолинилиден)трифенилfosфазин взаимодействуют с 2,3-дигидро-2,3-бензо[*b*]фурандионом в инертном растворителе при комнатной температуре с образованием замещенных 2-метиленгидразоно-2,3-дигидро-3-бензо[*b*]фуранонов **1a–e** (табл. 1) и трифенилfosфиноксида.



**1a** R<sup>1</sup> = R<sup>2</sup> = Ph, **b** R<sup>1</sup> + R<sup>2</sup> = C<sub>13</sub>H<sub>8</sub> (флуоренил), **c** R<sup>1</sup> = H, R<sup>2</sup> = Bz, **d** R<sup>1</sup> = H, R<sup>2</sup> = AdCO, **e** R<sup>1</sup> + R<sup>2</sup> = C<sub>10</sub>H<sub>7</sub>NO (1-метил-2-оксо-3-индолинилиден)

Известно, что 2,3-дигидро-2,3-бензо[*b*]фурандион весьма легко деци-

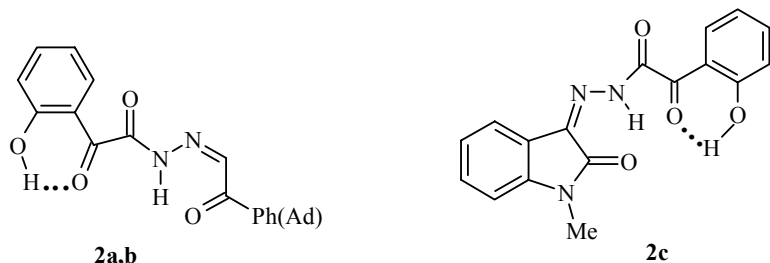
лизуется с образованием *o*-гидроксифенилглиоксалевой кислоты [6]. Замещение атома кислорода лактонного карбонила менее электроотрицательным атомом азота в соединениях **1a–e** изменяет распределение электронной плотности в молекуле и способствует большей устойчивости бензофuranового цикла. Тем не менее, в воднодиоксановой среде в присутствии каталитических количеств хлороводородной кислоты при комнатной температуре соединения **1c–e** гидролизуются до замещенных метиленгидразидов *o*-гидроксифенилглиоксалевой кислоты **2a–c**. Соединения **1a,b**, в которых отсутствует ацильный заместитель при связи C=N, в мягких условиях гидролизу не подвергаются.



В ИК спектрах соединений **1a–e** (табл. 2) присутствует полоса валентных колебаний кетонного карбонила бензофuranового цикла в области 1710–1715 см<sup>−1</sup>. Отсутствие в данных спектрах полосы поглощения лактонного карбонила в области 1800–1840 см<sup>−1</sup> [4, 5] свидетельствует об образовании продуктов взаимодействия по карбонильной группе в положении 2 гетероцикла.

Низкочастотное положение полос поглощения карбонильных групп

ацильного фрагмента гидразидов **2a,b**, карбонила в положении 2 гетероцикла у гидразида **2c**, а также кетонной карбонильной группы (область 1595–1605  $\text{cm}^{-1}$ ) в ИК спектрах этих соединений и слабопольное положение сигналов протонов групп N–H и O–H в спектрах ЯМР  $^1\text{H}$  свидетельствуют об их существовании в форме с внутримолекулярной водородной связью, что возможно при Z-конфигурации вдоль связи C=N.



Т а б л и ц а 1

**Характеристики синтезированных соединений**

Соединение	Брутто-формула	<u>Найдено, %</u> Вычислено, %			Т. пл., °C	Выход, %
		C	H	N		
<b>1a</b>	C <sub>21</sub> H <sub>14</sub> N <sub>2</sub> O <sub>2</sub>	77.20 77.29	4.36 4.32	8.49 8.50	138–139	72
<b>1b</b>	C <sub>21</sub> H <sub>12</sub> N <sub>2</sub> O <sub>2</sub>	77.52 77.77	3.65 3.73	8.66 8.63	197–198	89
<b>1c</b>	C <sub>16</sub> H <sub>10</sub> N <sub>2</sub> O <sub>3</sub>	73.16 73.28	3.67 3.84	10.51 10.68	146–147	87
<b>1d</b>	C <sub>20</sub> H <sub>20</sub> N <sub>2</sub> O <sub>3</sub>	71.55 71.41	5.81 5.99	8.28 8.32	133–134	68
<b>1e</b>	C <sub>18</sub> H <sub>11</sub> N <sub>3</sub> O <sub>3</sub>	66.75 66.88	3.69 3.62	13.70 13.76	245–246	76
<b>2a</b>	C <sub>16</sub> H <sub>12</sub> N <sub>2</sub> O <sub>4</sub>	64.92 64.86	4.12 4.08	9.36 9.45	160–161	83
<b>2b</b>	C <sub>20</sub> H <sub>22</sub> N <sub>2</sub> O <sub>4</sub>	67.89 67.78	6.14 6.25	7.79 7.90	196–197	77
<b>2c</b>	C <sub>17</sub> H <sub>13</sub> N <sub>3</sub> O <sub>4</sub>	63.01 63.15	4.25 4.05	12.83 12.99	194–195	89
<b>3</b>	C <sub>22</sub> H <sub>17</sub> N <sub>3</sub> O <sub>3</sub>	70.89 71.15	4.42 4.61	11.38 11.37	149–150	92
<b>4</b>	C <sub>8</sub> H <sub>6</sub> N <sub>2</sub> O <sub>2</sub>	60.12 59.26	3.59 3.73	17.18 17.25	196–197 196–197	58 (А), 81 (Б)

Таблица 2

## Спектральные характеристики синтезированных соединений

Соединение	ИК спектр, $\nu, \text{см}^{-1}$	УФ спектр, $\lambda_{\max}, \text{нм} (\lg \epsilon)$	Спектр ЯМР $^1\text{H}$ , $\delta, \text{м. д.}$ ( $J, \text{Гц}$ )
<b>1a</b>	1715 ( $\text{C}_{(3)}=\text{O}$ ); 1595 ( $\text{C}=\text{C}$ , $\text{C}=\text{N}$ )		6.79–7.83 (14H, м, $\text{H}_{\text{Ar}}$ )
<b>1b</b>	1710 ( $\text{C}_{(3)}=\text{O}$ ); 1590 ( $\text{C}=\text{C}$ , $\text{C}=\text{N}$ )	310 (4.03); 385 (4.18)	6.96–8.03 (12H, м, $\text{H}_{\text{Ar}}$ )
<b>1c</b>	1720 ( $\text{C}_{(3)}=\text{O}$ ); 1660 ( $\text{PhC}=\text{O}$ ); 1600 ( $\text{C}=\text{C}$ , $\text{C}=\text{N}$ )	274 (4.36); 357 (3.72)	7.13–7.76 (9H, м, $\text{H}_{\text{Ar}}$ ); 8.05 (1H, с, $\text{CH}=\text{N}$ )
<b>1d</b>	1710 ( $\text{C}_{(3)}=\text{O}$ ); 1650 ( $\text{AdC}=\text{O}$ ); 1580 ( $\text{C}=\text{C}$ , $\text{C}=\text{N}$ )		2.06–1.26 (15H, м, Ad); 7.56–7.10 (4H, м, $\text{H}_{\text{Ar}}$ ); 7.70 (1H, с, $\text{CH}=\text{N}$ )
<b>1e</b>	1710 ( $\text{C}_{(3)}=\text{O}$ ); 1715 ( $\text{C}_{(2)}=\text{O}$ заместителя $\text{R}^1 + \text{R}^2$ ); 1600 ( $\text{C}=\text{C}$ , $\text{C}=\text{N}$ )	312 (4.08); 361 (3.93)	3.11 (3H, с, $\text{CH}_3$ ); 6.68–7.70 (8H, м, $\text{H}_{\text{Ar}}$ )
<b>2a</b>	3400 (OH); 3230 (NH); 1702 (NHC=O); 1625 ( $\text{PhC}=\text{O}$ ); 1540 (амид II)		6.78–7.80 (10H, м, 9 $\text{H}_{\text{Ar}}$ , $\text{CH}=\text{N}$ ); 10.95 (1H, с, OH); 12.55 (1H, с, NH)
<b>2b</b>	3420 (OH); 3240 (NH); 1698 (NHC=O); 1630 (AdC=O); 1545 (амид II)		1.56–2.18 (15H, м, Ad); 6.99–7.56 (5H, м, 4 $\text{H}_{\text{Ar}}$ , $\text{CH}=\text{N}$ ); 10.92 (1H, с, OH); 12.58 (1H, с, NH)
<b>2c</b>	3400 (OH); 3225 (NH); 1698 ш. (NHC=O, $\text{C}_{(2)}=\text{O}$ заместителя $\text{R}'\text{R}^2$ ); 1550 (амид II)		3.10 (3H, с, $\text{CH}_3$ ); 6.65–7.76 (8H, м, $\text{H}_{\text{Ar}}$ ); 10.86 (1H, с, OH); 12.65 (1H, с, NH)
<b>3</b>	3373 (NH–Ar); 3245 (NH–CH); 1690 ( $\text{C}_{(3)}=\text{O}$ ); 1655 ( $\text{PhC}=\text{O}$ )		6.33–8.16 (16H, м, $\text{H}_{\text{Ar}}$ , $\text{CH}-\text{NH}$ , $\text{NH}-\text{Ar}$ ); 9.08 (1H, д, $J = 6.0$ , $\text{NH}-\text{CH}$ )
<b>4</b>	3400, 3280, 3215 (NH <sub>2</sub> ); 1685 ( $\text{C}_{(3)}=\text{O}$ )	263 (3.98); 302 (3.97); 382 (3.69)	7.03–7.75 (4H, м, $\text{H}_{\text{Ar}}$ ); 7.90–8.36 (2H, уш. с, NH <sub>2</sub> )

При изучении химического поведения метиленгидразонов **1** с ароматическими аминами установлено, что направление атаки нуклеофила зависит от характера заместителей  $\text{R}^1$ ,  $\text{R}^2$  в боковой цепи субстрата и нуклеофильности действующего амина. Так, метиленгидразон **1c** взаимодействует с анилином с образованием 2-[(2-оксо-2-фенил-1-фениламино)-этил]гидразоно-2,3-дигидро-3-бензо[*b*]фуранона (**3**). Однако при проведении реакции **1c** с *n*-анизидином ( $\text{R}^3 = \text{OMe}$ ) в аналогичных условиях вместо

ожидаемого продукта присоединения по активированной связи CH=N был выделен 2-гидразоно-2,3-дигидро-3-бензо[b]фуранон (**4**) (метод А). Очевидно, при взаимодействии соединения **1c** и амина с более высокой нуклеофильностью, чем образующийся гидразон **4**, реакция не останавливается на стадии присоединения амина по активированной связи CH=N исходного соединения, а происходит вытеснение гидразона **4** более нуклеофильным реагентом с образованием продуктов переиминирования.

Гидразон **4** был также получен при взаимодействии соединения **1c** с *o*-фенилендиамином (метод Б). Наряду с гидразоном **4** из реакционной смеси был выделен 2-фенилхиноксалин. Вероятно, как и в случае с ароматическими аминами, здесь первоначально происходит присоединение одной аминогруппы *o*-фенилендиамина по связи CH=N боковой цепи. Однако образующийся при этом продукт присоединения не является стабильным и подвергается внутримолекулярной циклизации за счет карбонильной группы бензоильного фрагмента и второй аминогруппы *o*-фенилендиамина с расщеплением связи NH–CH. Необходимо отметить, что неустойчивость бензофuranового цикла препятствует получению его 2-гидразонопроизводного прямым взаимодействием с гидразинами [7]. Таким образом, взаимодействие метиленгидразонов **1** с *o*-фенилендиамином и *n*-анизидином является удобным в препаративном отношении методом синтеза незамещенного гидразона **4**.

## ЭКСПЕРИМЕНТАЛЬНАЯ ЧАСТЬ

ИК спектры записаны на приборе ФСМ-1201 (Россия) в суспензии в вазелиновом масле. Спектры ЯМР <sup>1</sup>H зарегистрированы на спектрометре Bruker DRX-500 (500 МГц) в ДМСО-d<sub>6</sub>, внутренний стандарт ТМС. Масс-спектры получены на приборе Varian MAT-311 при энергии ионизирующих электронов 70 эВ методом прямого ввода образца в ионный источник. УФ спектры записаны на спектрофотометре СФ-46 для растворов в этаноле. Контроль за ходом реакций и чистотой полученных соединений осуществлялся методом ТСХ на пластинах Silufol UV-254 в системе эфир–бензол–актон, 10:9:1.

**Замещенные 2-метиленгидразоно-2,3-дигидро-3-бензо[b]фураноны 1a–e** (общая методика). К раствору 1.48 г (0.01 моль) 2,3-дигидро-2,3-бензо[b]фурандиона в 10 мл безводного толуола прибавляют суспензию 0.01 моль трифенилfosфазина в 15 мл того же растворителя и перемешивают при ~20 °C до полного растворения реагента. Полученный раствор охлаждают до 0 °C. Осадок отфильтровывают и перекристаллизовывают из толуола.

**Замещенные метиленгидразиды *o*-гидроксифенилглиоксалевой кислоты 2a–c** (общая методика). Суспензию 0.01 моль соединения 1c–e перемешивают в 35 мл смеси диоксан–вода, 3:1, в присутствии 5 мл 10% HCl до полного растворения реагента. Полученный раствор выдерживают 24 ч при ~20 °C. После удаления растворителя остаток перекристаллизовывают из CCl<sub>4</sub>. Масс-спектр бензилметиленгидразида *o*-гидроксифенилглиоксалевой кислоты (**2a**), *m/z* (*I*<sub>отн.</sub>, %): 296 [M]<sup>+</sup> (55), 191 [M–C<sub>6</sub>H<sub>5</sub>CO]<sup>+</sup> (96), 164 [M–C<sub>6</sub>H<sub>5</sub>COH=N]<sup>+</sup> (17), 147 [M–OHC<sub>6</sub>H<sub>4</sub>COCO]<sup>+</sup> (26), 121 [OHC<sub>6</sub>H<sub>4</sub>CO]<sup>+</sup> (100), 105 [C<sub>6</sub>H<sub>5</sub>CO]<sup>+</sup> (21).

**2-[(2-Оксо-2-фенил-1-фениламино)этил]гидразоно-2,3-дигидро-3-бензо[b]фуранон (**3**).** К раствору 2.62 г (0.01 моль) соединения **1c** в 30 мл безводного CCl<sub>4</sub> прибавляют по каплям раствор 0.93 г (0.01 моль) анилина в 10 мл того же растворителя при перемешивании. Реакционную смесь выдерживают 24 ч при ~20 °C. Выпавший осадок отфильтровывают и перекристаллизовывают из четыреххлористого углерода. Масс-спектр соединения **3**, *m/z* (*I*<sub>отн.</sub>, %): 278 [M–C<sub>6</sub>H<sub>5</sub>NH<sub>2</sub>]<sup>+</sup> (46), 250 [M–C<sub>6</sub>H<sub>5</sub>NH<sub>2</sub>–CO]<sup>+</sup> (100), 173 [M–C<sub>6</sub>H<sub>5</sub>NH<sub>2</sub>–C<sub>6</sub>H<sub>5</sub>CO]<sup>+</sup> (28), 162 [M–C<sub>6</sub>H<sub>5</sub>COCH=NC<sub>6</sub>H<sub>5</sub>]<sup>+</sup> (44), 105 [C<sub>6</sub>H<sub>5</sub>CO]<sup>+</sup> (25), 93 [C<sub>6</sub>H<sub>5</sub>NH<sub>2</sub>] (38).

**2-Гидразино-2,3-дигидро-3-бензо[*b*]фуранон (4).** А. К раствору 2.62 г (0.01 моль) соединения **1c** в 30 мл безводного  $\text{CCl}_4$  прибавляют по каплям раствор 1.22 г (0.01 моль) *n*-анизидина в 15 мл того же растворителя при перемешивании. Реакционную смесь охлаждают до 0 °C, осадок отфильтровывают и перекристаллизовывают из толуола.

Б. Раствор 2.62 г (0.01 моль) соединения **1c** и 1.08 г (0.01 моль) *o*-фенилендиамина в 50 мл безводного толуола выдерживают 6 ч при ~20 °C. После охлаждения смеси до 0 °C осадок отфильтровывают и перекристаллизовывают из толуола.

## С П И С О К Л И Т Е Р А Т У Р Ы

1. В. В. Залесов, Н. А. Пулина, Ю. С. Андрейчиков, *ЖОрХ*, **25**, 1054 (1989).
2. В. П. Кругленко, В. П. Гнидец, Н. А. Клюев, М. В. Повстяной, *ХГС*, 533 (1987). [*Chem. Heterocycl. Comp.*, **23**, 444 (1987)].
3. H. J. Bestmann, H. Fritzsche, *Chem. Ber.*, **94**, 2477 (1961).
4. A. Schonberg, K. Sunahans, *Chem. Ber.*, **97**, 2539 (1964).
5. F. R. Hewgill, D. L. Hewitt, L. B. Howie, W. L. Spencer, *Austral. J. Chem.*, **30**, 1971 (1977).
6. K. Fries, W. Pfaffendorf, *Ber.*, **45**, 154 (1912).
7. А. Б. Томчин, И. С. Иоффе, Е. А. Русаков, *ЖОрХ*, **10**, 604 (1974).

ГОУ ВПО "Пермская государственная  
фармацевтическая академия  
Федерального агентства по здравоохранению  
и социальному развитию", Пермь 614990, Россия  
e-mail: perm@pfa.ru

Поступило 01.07.2005

<sup>3</sup>ГОУ Пермский государственный университет,  
Пермь 614600, Россия  
e-mail: obtkbiomed@permonline.ru